

Р. Т. ДЖРБАШЯН

## ПЕТРОХИМИЧЕСКИЕ ОСОБЕННОСТИ И ЭВОЛЮЦИЯ ЭОЦЕНОВОГО ВУЛКАНИЗМА БАЗУМСКОГО ХРЕБТА

Описываемый район составляет часть крупного Севано-Ширакского синклиниория (Габриелян, 1959), занимающего центральное положение в северо-западной части Армянской ССР, и характеризуется развитием преимущественно вулканических и вулканогенно-обломочных образований палеогена.

Положение Севано-Ширакской геосинклинальной зоны между жесткими структурами (Сомхето-Карабахской с севера и Мисхано-Арзаканской с юга) определило развитие линейных структур и региональных тектонических нарушений северо-западного и близширотного простираний.

Согласно существующим представлениям (А. А. Габриелян, П. Д. Гамкрелидзе), начиная с мелового времени территория Севано-Ширакского синклиниория вовлекается в общий процесс погружения и уже в палеогене становится областью интенсивного осадконакопления и бурного вулканизма, обусловившего формирование разнообразных по составу и фациям пород, образующих характерные вулкано-плутонические комплексы. Начавшись в нижнеэоценовое время, вулканизм достигает наибольшей активности в среднем эоцене и затухает к концу верхнего эоцена—олигоцена. К этому же периоду относится замыкание большей части Севано-Ширакского синклиниория, который совместно с соседними сооружениями формирует крупную Антиавказскую геоантклинальную структуру. С палеогеновым периодом развития территории связаны наиболее интенсивные процессы рудообразования, в результате которых сформировались серно- и медносерноколчеданные месторождения.

Важную роль в тектонике и ведущую—в магматизме и металлогении района играют дизъюнктивные структуры, которые в основном также имеют северо-западное простирание.

Палеогеновая толща Базумского хребта (мощностью около 4,5 км) подразделяется на два относительно самостоятельных комплекса, отличающихся по петрографическому составу и отделенных один от другого перерывом в осадконакоплении.

Вулканическая деятельность в период формирования первого комплекса носит в основном подводный характер, отличается значительной

интенсивностью и масштабами проявления и контролируется региональными нарушениями близширотного простирания. Интересной особенностью является постепенное смещение максимумов вулканической активности в юго-восточном направлении (Джрабашян, 1962, 1964).

Вулканические породы, слагающие первый комплекс, вместе с их субвулканическими и интрузивными аналогами относятся к единой известково-щелочной ассоциации, характерной для геосинклинальных зон, и представляют собой один эфузивно-интрузивный комплекс.

Нижним членом стратиграфического разреза палеогеновых вулканогенных образований является распространенная в западной части территории (в бассейне рр. Желтая и Черная) желторечская свита (мощн. 600—700 м). Свита образовалась в условиях относительно глубоководного бассейна и характеризуется чередованием разнообразного по составу лавового и пирокластического материала с известняками, известковистыми песчаниками и алевролитами. Характерной особенностью этой свиты является широко проявленный гидротермальный метаморфизм слагающих ее пород. В восточном направлении она постепенно выклинивается. Эволюция вулканизма выражается в смене, с течением времени, дакитов и андезито-дакитов, базальтами и андезитами и, наконец, липаритами. Заканчивается ряд проявлением интенсивно минерализованных субвулканических липаритовых порфиров и приповерхностных интрузий кварц-диорит-порфиров и гранодиорит-порфиров. Проявления кислого вулканизма, установленные в низах желторечской свиты, по-видимому, являются отголосками дат-палеоценового кислого вулканизма соседней Сомхетской глыбы (Дудаури, Адамия, 1960; Микадзе, Беридзе, 1960).

Среднеэоценовые вулканические и вулканогенно-обломочные образования пользуются в районе максимально широким распространением, слагая толщу мощностью до 2,5 км. В западной части Базумского хребта они без видимого несогласия залегают на образованиях желторечской свиты, а далее на восток с угловым несогласием — на отложениях мела. В этом же направлении наблюдается смена фаций пород, отражающая изменение условий накопления толщи от относительно глубоководных к мелководным. К концу среднего эоцена возникли отдельные вулканические острова, абразия которых поставляла слабоотсортированный материал, накапливающийся в виде отдельных прослоев до 5—6 м среди кислых эфузивов и их пирокластов.

Среднеэоценовая вулканическая серия включает последовательно сменяющие друг друга во времени базальты, андезиты, дакиты и липариты. Вулканизм среднеэоценового времени характеризуется преимущественно спокойными излияниями лав, которые прерывались редкими эксплозиями; формируется толща лав и лавобрекчий, чередующихся с отдельными горизонтами грубообломочных туфов и туфобрекчий. Заключительные стадии среднеэоценового вулканизма отличаются сильными эксплозиями, в результате которых были образованы брекчии и туфы дакитового и липаритового составов. Одновременно, по-видимому, уже

в континентальных условиях происходило внедрение многочисленных экструзий вязкой лавы того же состава.

Вулканогенные образования второго комплекса, охватывающего верхнеооценовый—олигоценовый? период, налегают на более древние с угловым несогласием и базальным конгломератом в основании (Саркисян, 1958; Мкртчян, 1960). Выделяются они под названием памбакской свиты (мощностью около 1200 м) по северным склонам и на водораздельных участках центральной и восточной частей Базумского хребта, приурочиваясь к синклинальным структурам, а также в пределах смежного Памбакского хребта. В основании свиты залегают грубообломочные туфобрекции и туфоконгломераты андезитов и андезито-базальтов, переслаивающиеся с неотсортированным терригенным материалом; лавы андезитового состава образуют небольшие потоки. В верхней части свита представлена разнообразными эфузивами и пирокластами среднего, кислого и переходного к щелочному составов.

Вулканогенные образования, слагающие памбакскую свиту, отличаются большим разнообразием состава, быстрой изменчивостью фаций и мощностей. Вулканическая активность обнаруживает связь с различными системами нарушений.

Особенности вещественного состава пород и анализ их геологического положения позволяют предположить, что формирование памбакской свиты происходило преимущественно в континентальных условиях или в пределах небольших мелководных бассейнов.

На территории Базумского хребта к этому периоду относится нахождение разнообразных по составу пород от оливиновых базальтов до липаритов несколько повышенной щелочности, принадлежащих к известково-щелочной ассоциации. Наиболее кислые представители этой серии проявились в виде субвулканических образований липаритового и трахиолипаритового состава.

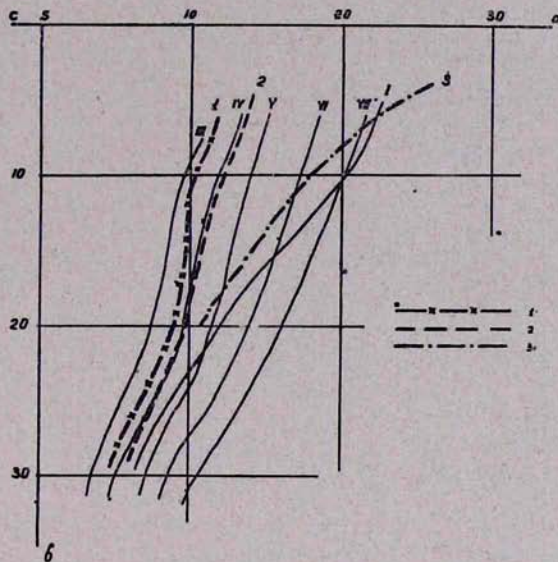
Необходимо отметить, что на территории, расположенной южнее Памбакского хребта, одновременно развивалась собственно щелочная ассоциация, представленная серией от щелочных базальтоидов до эпилейцитовых порфиров (Котляр, 1931, 1945, 1957; Багдасарян, 1950, 1956, 1962). Представляется, что отдельные субвулканические тела и экструзии трахитов и трахиандезитов в пределах Базумского хребта могут также быть отнесены к проявлениям этой щелочной ассоциации.

Анализ петрохимических особенностей, приводимый ниже, подтвердил правильность геологического выделения отдельных комплексов и позволил высказать определенные суждения относительно связи особенностей вулканизма и состава лав с тектонической обстановкой магмообразования, а также о характере очагов и роли тех или иных процессов в ходе их эволюции.

Для изучения и сопоставления химических составов пород исследуемой области нами были использованы результаты 75 полных силикатных анализов. Средние составы главных разновидностей пород приведены в табл. 1.

Для установления принадлежности пород, слагающих каждый отдельный комплекс, к тому или иному типу на основе векторной диаграммы построены вариационные кривые (1, 2, 3) и сравнены с естественными ассоциациями пород по А. Н. Заварицкому и К. Р. Бурри (Заварицкий, 1944) (фиг. 1).

Особенности химического состава указывают на наличие различных петрохимических ассоциаций пород, соответствующих двум выделенным разновозрастным комплексам.



Фиг. 1. Вариационные линии составов палеогеновых вулканических пород. 1 — Нижний-средний эоцен. 2 — Верхний эоцен, известково-щелочная серия. 3 — Верхний эоцен, щелочная серия. I — тип Гавайи, II — тип Пеле, IV — тип Лассен-Пик, V — тип Йеллоустонского парка, VI — тип Этны, VII — тип Марос Хайвид.

Нижне-среднеэоценовые и среднеэоценовые породы первого комплекса (линия 1), располагаясь между вариационными кривыми Пеле и Лассен-Пик, принадлежат типичной известково-щелочной ассоциации. Наклон кривой в верхней части диаграммы указывает на возрастание известковистости в ходе эволюции. Отношение  $\text{FeO} : \text{MgO}$  возрастает с 0,6 в базальтах до 3,0 в дацитах. Величина суммы глинозема и щелочей для каждого отдельного типа пород колеблется в небольших пределах— от 20,5 в липаритах до 22,3 в андезито-базальтах. При этом отмечается постоянное преобладание  $\text{Na}_2\text{O}$  над  $\text{K}_2\text{O}$  как в основных и средних, так и в кислых разностях пород.

Породы, составляющие второй комплекс, принадлежат к двум различным ассоциациям: известково-щелочной и щелочной, которые развиваются почти одновременно на смежных территориях; в последнюю группу включены эффузивы, развитые в пределах Памбакского хребта. Известково-щелочная ассоциация (вариационная линия 2) характеризует-

Таблица 1

## Средние составы эфузивных и субвулканических пород

Оксиды	Нижний и средний эоцен (I комплекс)					Верхний эоцен - олигоцен (?) (II комплекс)							
						Известково-щелочная серия				Щелочная серия			
	базальт	андезито-базальт	андезит	дацит	липарит	базальт	андезит	дацит	липарит	андезито-базальт	трахигиандинозит	трахит	эпилейцит-порфир
SiO <sub>2</sub>	48,92	55,56	60,48	67,30	71,60	47,02	56,43	65,30	73,83	53,52	54,36	58,8	55,3
TiO <sub>2</sub>	0,86	0,99	0,53	0,42	0,31	0,86	0,55	0,52	0,17	0,37	0,35	0,57	0,32
Al <sub>2</sub> O <sub>3</sub>	17,87	16,80	17,50	15,33	13,60	16,79	18,37	16,76	13,54	20,10	21,98	19,3	21,61
Fe <sub>2</sub> O <sub>3</sub>	6,11	3,46	2,71	1,31	2,73	4,80	3,70	2,72	1,62	4,98	1,94	2,96	1,57
FeO	3,90	5,07	3,57	3,18	1,25	5,20	4,28	0,85	0,70	2,88	2,24	2,27	1,57
MnO	0,20	0,22	0,21	0,03	0,15	0,12	0,13	0,05	0,03	0,14	0,10	0,09	0,16
CaO	10,76	5,06	4,41	3,68	1,96	11,01	7,13	3,02	0,64	7,11	5,65	3,05	2,63
MgO	6,49	3,96	2,54	1,06	0,77	4,95	2,51	1,1	0,56	2,70	2,05	1,20	0,60
K <sub>2</sub> O	1,39	1,62	1,41	1,88	2,96	0,92	3,11	3,39	3,78	3,40	4,65	6,38	7,42
Na <sub>2</sub> O	2,01	3,86	2,97	3,26	3,92	2,14	2,68	4,21	3,72	3,16	3,20	4,16	5,22
п. п. п.	0,86	2,58	2,92	2,26	0,97	—	0,60	0,63	1,05	1,12	3,22	1,82	2,52
H <sub>2</sub> O	0,13	0,31	—	0,71	0,26	1,81	0,46	1,45	0,76	0,22	0,39	0,17	0,28
P <sub>2</sub> O <sub>5</sub>	—	0,18	0,09	0,33	0,11	—	0,25	0,06	0,002	—	—	—	—
S	—	0,28	0,07	0,18	0,18	—	—	—	—	—	—	—	—
С у м м а	99,50	99,95	99,41	100,93	100,41	100,72	100,20	100,28	100,21	100,10	100,13	100,777	99,32
Числовые характеристики по А. Н. Заваричному													
a	6,3	11,2	8,2	10,1	12,7	6,6	10,9	14,4	13,0	12,7	15,2	19,0	23,9
c	8,6	6,1	5,2	4,5	2,3	9,1	7,5	3,7	0,8	8,1	7,5	3,9	3,4
b	23,7	15,7	20,3	7,6	5,3	24,8	13,7	6,1	5,6	13,8	9,7	6,9	4,8
s	61,4	67,0	66,3	77,8	79,7	59,5	67,9	75,8	80,8	65,6	67,6	70,2	67,9
a'	—	—	19,4	21,9	7,6	—	—	15,8	49,3	—	18,3	—	6,2
f'	37,3	53,6	28,0	54,5	68,4	40,3	55,5	53,5	35,3	54,6	42,8	69,5	70,8
m'	45,1	44,6	52,6	23,6	24,0	37,0	32,5	30,7	15,4	36,2	38,9	30,5	23,0
c'	17,6	1,8	—	—	—	22,7	12,0	—	9,2	—	—	—	—
n	34,0	39,2	38,0	36,3	16,0	11,4	28,3	33,5	30,0	29,3	25,5	25,1	25,8
t	1,2	1,4	0,7	0,4	0,3	1,4	0,8	0,5	0,1	0,4	0,4	0,7	0,4
φ	21,3	20,0	11,0	14,5	43,1	18,2	24,1	38,8	23,5	32,4	18,3	36,8	34,0
a/c	0,7	1,8	1,6	2,2	5,5	0,7	1,4	3,9	16,2	1,6	2,1	4,9	7,0
Q	1,6	5,5	11,0	30,9	31,7	-3,3	6,5	8,1	34,6	-2,3	-2,7	-1,5	-15,4

ся серией от базальтов, через андезиты и дациты, до липаритов. По содержанию главных компонентов и основным числовым характеристикам породы приближаются к средним типам по Р. Дэли, а вариационная линия, отражая несколько более щелочной характер их, сдвинута вправо и почти совпадает с кривой Лассен-Пик. Если в основных и средних членах серии содержания  $\text{Na}_2\text{O}$  превышают  $\text{K}_2\text{O}$ , то в дацитах и липаритах они находятся примерно в равных соотношениях. Отношение  $\text{FeO} : \text{MgO}$  постепенно возрастает от 1,1 в базальтах до 1,7 в липаритах, а величина суммы глинозема и щелочей соответственно от 20,0 до 24,0.

Породы, составляющие щелочную ассоциацию, от средних типов по Р. Дэли отличаются несколько повышенной кислотностью и известковистостью. Крайние щелочные разности располагаются (по величине « $a$ ») в интервале между лейцитовым фонолитом и трахитом и могут быть отнесены к лейцитовым трахи-фонолитам. Отношение  $\text{FeO} : \text{MgO}$  возрастает от 1,0 в андезито-базальтах до 2,7 в эпилейцитовых порфирах, величина суммы глинозема и щелочей соответственно от 26,6 до 34,2, а содержание щелочей от 6,5 до 12,5 при постоянном преобладании  $\text{K}_2\text{O}$  над  $\text{Na}_2\text{O}$ . Линия составов, соответствующая данной ассоциации (кривая 3), отличается заметной обособленностью. Характер наклона ее указывает на более быстрый темп увеличения щелочности в ходе дифференциации, по сравнению с вышеуказанными ассоциациями, и приближает последнюю серию к лавам Гавайских островов.

Использование методов пересчетов, предложенных А. Риттманом (1953, 1959, 1964), Х. Куно (1959) и В. Н. Лодочниковым (1926), позволило более четко показать главнейшие петрохимические особенности каждой серии и специфические черты эволюции выделенных ассоциаций.

По А. Риттману (1959, 1964) были вычислены сериальные индексы „ $S$ “ для каждого типа породы в отдельных комплексах по формуле  $S = \frac{(\text{Na}_2\text{O} + \text{K}_2\text{O})^2}{\text{SiO}_2 - 43}$ , отражающей зависимость между кремнеземом и суммой щелочей.

Кроме этого, для тех же типов пород сделана попытка вычисления сериального индекса „ $p$ “, выражающего зависимость между глиноземом и суммой щелочей, по формуле  $p = (\text{An} + 0.70) \cdot \text{SiO}_2$ , где

$$\text{An} = \frac{0.9 \text{Al}_2\text{O}_3 - (\text{K}_2\text{O} + 1.5 \text{Na}_2\text{O})}{0.9 \text{Al}_2\text{O}_3 + (\text{K}_2\text{O} + 1.5 \text{Na}_2\text{O})}; \quad (\text{Rittmann}, 1953).$$

Результаты этих пересчетов сведены в табл. 2 и иллюстрируются на диаграммах (фиг. 2–3).

1. Данные, полученные тем и другим методом пересчета ( $S = 1,8$ ;  $p = 63 - 65$ , при  $\text{Na}_2\text{O} > \text{K}_2\text{O}$ ) для лав первого комплекса, позволяют отнести их к тихоокеанскому сильно известково-щелочному типу.

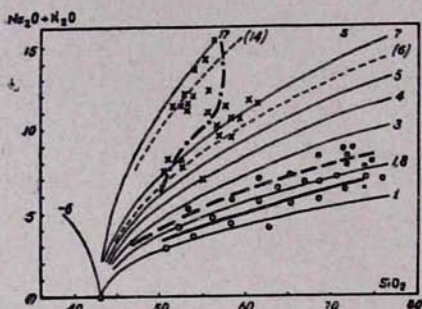
2. Значения  $S = 2,2$  и  $p = 60$ , при  $\text{Na}_2\text{O} > \text{K}_2\text{O}$ , для лав известково-щелочной серии второго комплекса по определению А. Риттмана присущи тихоокеанскому средне известково-щелочному типу.

3. Величины  $S = 8,6$  и  $p = 45-50$ , при  $\text{Na}_2\text{O} < \text{K}_2\text{O}$ , для щелочной серии второго комплекса приближают ее к средне субкалиевому средиземноморскому типу, согласно классификации А. Риттмана.

Принадлежность выделенных ассоциаций к петрохимически различным группам подтверждается также сравнением результатов пересчетов по методу Х. Куно (1959).

Х. Куно предлагает на оси абсцисс откладывать не весовые содержания  $\text{SiO}_2$ , а расчетную величину, именуемую индексом затвердевания (solidification index — Si), которая отражает состав и количество остаточного расплава. Величина Si определяется из выражения

$$Si = \frac{\text{MgO} \cdot 100}{\text{FeO} + \text{Fe}_2\text{O}_3 + \text{MgO} + \text{K}_2\text{O} + \text{Na}_2\text{O}}.$$



Фиг. 2. Диаграмма А. Риттмана для химических составов палеогеновых эфузивных и субвулканических пород.

Условные знаки см. фиг. 3.

нашей серии (средний щелочно-известковый индекс = 17,1 и  $\text{CaO}=5,2$ ).

2. Одна из параллельно развивающихся серий, которые составляют второй комплекс, характеризуется значениями  $Si=17,5$  и  $\text{CaO}=\text{Na}_2\text{O}+\text{K}_2\text{O}=5,6$  и также принадлежит к известково-щелочной серии.

3. Другая—соответственно со значениями  $Si=15,0$  и  $\text{CaO}=7,2$ , согласно классификации Х. Куно, относится к щелочной серии.

Как видно из сводной диаграммы Х. Куно (фиг. 4), фигутивные точки различных серий обоих комплексов располагаются соответственно, для первых двух в поле известково-щелочных, для последней—в поле щелочных серий. При этом фигутивная точка известково-щелочной серии второго комплекса располагается у границы с полем щелочных пород.

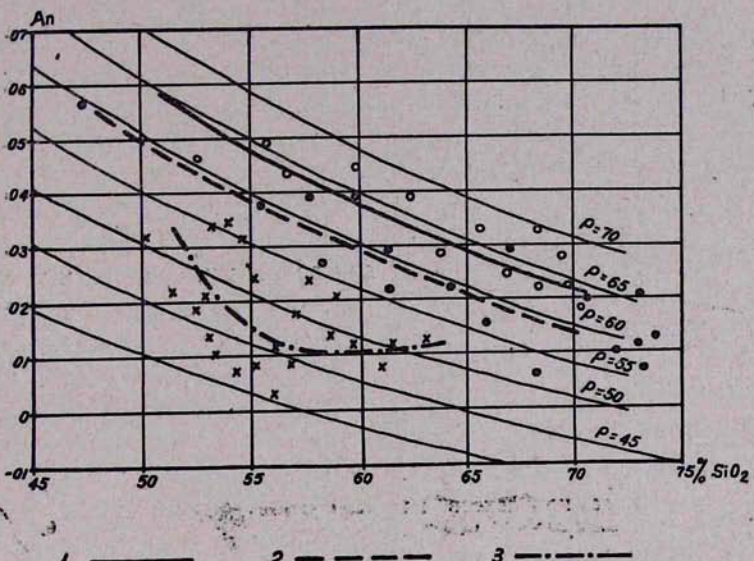
Таким образом, выделение на основе геологических и петрографических исследований двух разновозрастных комплексов подтверждается также изучением и сравнением химических составов и петрохимических особенностей слагающих их пород. Петрохимические пересчеты и диаграммы, построенные по методам, предложенным разными авторами, довольно наглядно показали их относительную самостоятельность. Вместе

Значение Si для точки  $\text{CaO} = \text{Na}_2\text{O} + \text{K}_2\text{O}$  Куно именует щелочно-известковым индексом. Последний позволяет указанному автору сравнивать одинаковые стадии фракционной кристаллизации различных серий горных пород.

Сравнивая наши данные с предельными значениями трех различных родоначальных серий, полученными Х. Куно, можно заключить следующее:

1. Лавы первого комплекса принадлежат к известково-щелоч-

с тем, обособленное положение щелочной серии второго комплекса позволяет допускать существование двух параллельно развивающихся в пределах смежных территорий вулканических серий верхнего эоцен—олигоцена (?).



Фиг. 3. Диаграмма А. Риттмана для химических составов палеогеновых эффузивных и субвулканических пород. 1 — для пород I комплекса, 2 — для пород известково-щелочной серии II комплекса, 3 — для пород щелочной серии II комплекса.

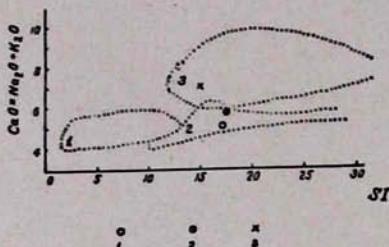
Таблица 2

Главные типы пород	Сериальные индексы и серии по А. Риттману				Индекс затвердения и щел.-изв. индекс по Х. Куно			I комплекс	
	S	S средн.	Ap	p	типа ассоциации	Si	CaO = Na <sub>2</sub> O + K <sub>2</sub> O	щелочн.-изв. индекс	
Известково-щелочная ассоциация									
Базальт	2,17	0,47	60,0		Тихоокеанский сильно известково-щелочной тип	32,6			Известково-щелочная серия
Анdezито-базальт	2,06	1,8	0,45	68,4		22,8			
Анdezит	1,21	0,34	70,0			19,2	5,2	17,0	
Дацит	1,62	0,16	61,5			10,0			
Липарит						6,6			
Известково-щелочная ассоциация									
Базальт	2,6	0,57	59,0		Тихоокеанский средне известково-щелочной тип	27,0			Известково-щелочная серия
Анdezит	2,4	2,2	0,37	60,5		15,1			
Дацит	2,3		0,21	60,3		8,4	5,6	17,5	
Липарит	1,8		0,83	60,1		5,3			
Щелочная ассоциация									
Базальт-анд.-баз.	4,7	0,39	55,6		Средиземноморский средне субкалиевый тип	16,5			Щелочная серия
Трахианд.	8,3	0,31	52,4			14,3			
Трахит	6,9	8,6	0,15	49,0		7,6	7,2	15,0	
Эпилейцит. порфир	14,5		0,30	46,5		3,7			

Причины установленных петрохимических особенностей находятся в непосредственной связи с условиями геологического развития региона.

Первый комплекс нижне-среднезооценовых и среднезооценовых пород характеризуется известково-щелочной ассоциацией с общей железистостью  $\left( \frac{\text{FeO} + \text{Fe}_2\text{O}}{\text{FeO} + \text{Fe}_2\text{O}_3 + \text{MgO}} \right)$ , равной 40–60% (Соболев, 1936).

Согласно классификации, предложенной Н. П. Васильковским (1960), указанная зона в нижнем-среднем эоцене находилась в «зрелой стадии геосинклинального развития (стадии собственно островных дуг)», с характерным для нее вулканизмом.



Фиг. 4. Положение фигуративных точек разновозрастных комплексов на сводной диаграмме Х. Куно. 1 — Толейитовая серия. 2 — Известково-щелочная серия. 3 — Щелочная серия. 1 — для пород I комплекса, 2 — для пород известково-щелочной серии II комплекса, 3 — для пород щелочной серии II комплекса.

жают их к породам толейитовой серии по А. Кеннеди (1933) и Х. Куно (1959).

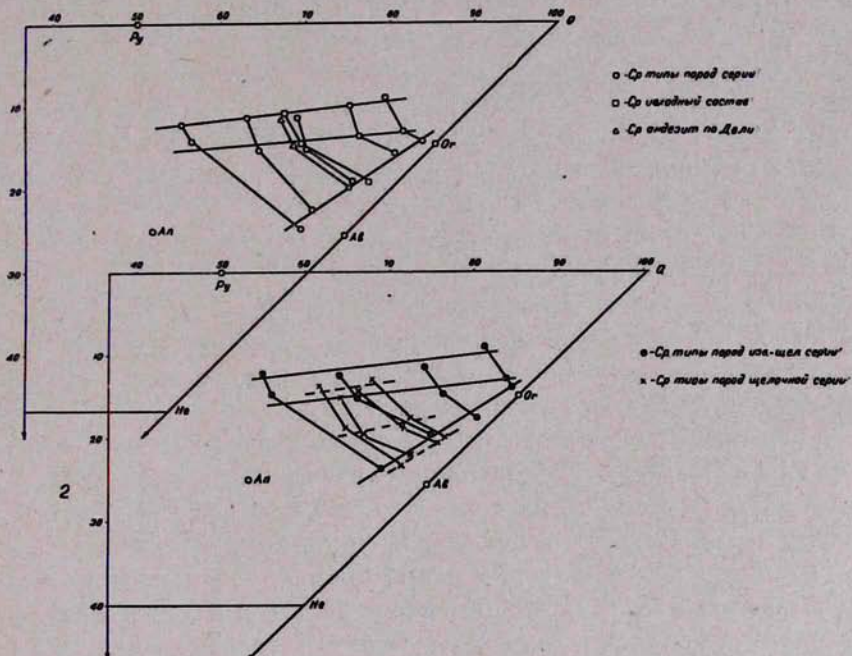
Таким образом, перечисленные особенности наряду с геологическими и петрографическими могут указывать на генетическое родство эфузивов первого комплекса, входящих в один комплементарный ряд, и позволяют рассматривать их в качестве производных единого магматического расплава. Количественные соотношения различных типов пород и средний состав, вычисленный для пород комплекса и условно принятый за состав исходного расплава, близок к андезитовому. Последний, по-видимому, возник в результате усвоения толейитовой базальтовой магмой пород фундамента, т. е. юры, мела, а иногда и более древних, под влиянием процессов глубинной ассилияции и местами, в ходе дальнейшей эволюции, достиг более кислого состава.

Вулканические образования, составляющие второй комплекс, проявляют заметную самостоятельность и существенно отличаются от пород первого комплекса. Они соответствуют этапу завершенной складчатости или полуплатформенному режиму развития (конечной стадии геосинклинального развития по Н. П. Васильковскому) и характеризуются двумя одновременно развивающимися ассоциациями пород: известково-щелочной (несколько повышенной по сравнению с первым комплексом щелочности) и щелочной. Следует отметить, что величина общей железисто-

Минералогические, петрографические и петрохимические особенности основных, средних и кислых пород, наблюдаемая в них сериальная зависимость и преемственность в поведении микроэлементов (Джрабашян, Малхасян, Мнацаканян, 1963), а также большое число переходных разностей скорее всего указывают на существенную роль процессов ассилияции в ходе эволюции расплава (фиг. 2 и 5), что иллюстрируется на диаграммах А. Риттмана и В. Н. Лодочникова.

Особенности химизма и минералогического состава пород приближены к породам толейитовой серии по А. Кеннеди (1933) и Х. Куно

сти, высчитанная для каждой серии в отдельности, довольно постоянна—75—80 %, что лишний раз указывает на возможность их параллельного развития в одинаковых условиях. Каждая из выделенных серий второго комплекса характеризуется комплементарностью составов, однако для всего комплекса единый ряд не устанавливается. С другой стороны, значительное возрастание величины сериального индекса— $s$ , при относительно малом увеличении  $\text{SiO}_2$ , указывает, что в эволюции каждой из серий существенная роль принадлежит «газовому переносу в верхней части + (щелочи)» (А. Риттман, 1959).



Фиг. 5. Диаграмма средних составов пород палеогеновых вулканических серий по В. Н. Лодочникову. 1 — для пород первого комплекса, 2 — для пород второго комплекса.

Проведенные исследования позволяют по-новому подойти к истории развития палеогенового вулканализма в пределах Севано-Ширакского синклиниория и смежных регионов Малого Кавказа с однотипным геологическим строением, а также к проблеме выделения вулканических циклов и вулкано-плутонических комплексов. В первую очередь это относится к особенностям взаимоотношения структур общекавказского простирания с меридиональными.

Существенная роль в распространении палеогенового вулканализма в пространстве и во времени в пределах изученной территории принадлежит Транскавказской зоне поперечного поднятия (Джрбашян, 1964). Анализ развития вулканализма в пределах Севано-Ширакской и сравнение с вулканализмом расположенной северо-западнее Аджаро-Триалетской геосинклинальных структур (Гамкрелидзе, 1949; Дзоценидзе, 1948) показал, что наиболее ранние проявления палеогенового вулканализма тяго-

тят к полосе «поперечного поднятия». В дальнейшем, участки наибольшего прогибания и максимумы вулканической активности смешались волнобразно от поперечного поднятия на юго-восток — в пределах Севано-Ширакской и на запад, северо-запад — в пределах Аджаро-Триалетской зон. В то же время установлено, что характер вулканизма и состав продуктов вулканической деятельности не проявляют непосредственной зависимости от указанного поперечного поднятия и определяются этапами развития соответствующих геосинклинальных структур. В соответствии с этим на различных участках изученной территории могут быть выделены различные по возрасту и характеру вулканические циклы.

1. Нижне-среднеэоценовый цикл (северо-западная часть Базумского хребта). С началом его связано образование дакитов и андезито-дакитов низов желтореченской свиты, которые в дальнейшем, через андезито-базальты и андезиты, переходят к липаритам. Цикл завершается внедрением субвулканических липаритовых порфиров и близповерхностных интрузий кварцевых диоритов и диоритов.

2. Среднеэоценовый цикл, пользующийся в районе максимальным широким развитием, характеризуется извержением значительного объема лавового и пирокластического материала основного и среднего составов. Завершается цикл извержением липаритов и дакитов эфузивной фации, за которыми следуют субвулканические липаритовые порфиры и гипабиссальные интрузии гранитоидов.

3. Верхний эоцен-олигоценовый (?) вулканический цикл, проявившийся в иной тектонической обстановке, которая возникла в связи с переходом области в относительно консолидированное сооружение. Свообразие его заключается в большой пестроте верхнеэоценовых образований и, самое интересное, в одновременном развитии известково-щелочной и трахитовой серий пород (особенно в субвулканической фации). Указанные особенности параллельного развития различных серий на одних и тех же участках, по-видимому, являются характерными для регионов со сходной историей геологического развития (Фаворская, 1956; Костюк, 1960; Схицладзе, 1962, Лапин, 1963 и др.).

С дальнейшей эволюцией трахитовых серий связано возникновение щелочных эфузивных пород в центральной части Памбакского и интрузий щелочных и нефелиновых сиенитов в пределах Базумского хребта. Большинством исследователей (Котляр, 1957; Дзоценидзе, 1948; Багдасарян, 1962; Остроумова, 1964 и др.) отмечается строгое определенное (для Малого Кавказа) тектоническое положение щелочных комплексов, выраженное в повсеместном проявлении их в пределах относительно малоподвижных участков — типа срединных массивов и в приуроченности к зонам глубинных разломов.

Сопоставление эфузивных, субвулканических и интрузивных образований соответствующих комплексов дает возможность говорить о близости во времени формирования их и вероятной преемственности магматических очагов. Это обстоятельство позволяет с большей уверенностью утверждать о существовании на изученной территории эфузивно-интру-

зивных комплексов палеогена, на возможность выделения которых указывал еще В. Н. Котляр в 1938 г. (Котляр, 1958).

Касаясь вопросов связи оруденения с палеогеновыми комплексами и положения его в развитии магматизма области, следует отметить, что они очень сложны и до последнего времени окончательно не разработаны.

Тесная пространственная и временная связь эффузивных, субвулканических и интрузивных образований и наблюдаемая в них преемственность делают затруднительным выяснение вопросов генетической связи колчеданного оруденения с одним из них.

Развитое в пределах Базумского хребта серно- и медно-серноколчеданное оруденение обнаруживает тесную пространственную приуроченность с эффузивно-интрузивными комплексами ранних этапов геосинклинального развития, локализуясь в интенсивно гидротермально переработанных участках. Полученные данные позволяют присоединиться к господствующему мнению о единстве магматического источника как для вулканических проявлений (в широком смысле этого слова), так и для метасоматических и рудных процессов.

## ЛИТЕРАТУРА

- Багдасарян Г. П. О механизме внедрения и этапах формирования Тежсарской щелочной интрузии в Армении. Изв. АН Арм. ССР, т. III, № 8, 1950.
- Багдасарян Г. П. Петрография щелочных эффузивных пород Арм. ССР. Изв. АН СССР, сер. геол., № 2, 1956.
- Багдасарян Г. П. Щелочные горные породы центральной части Армянской ССР. В кн. «Вопросы вулканализма», Изд. АН СССР, 1962.
- Микадзе К. А., Беридзе М. А. О палеоцен-нижнеоценовом кислом вулканализме Тетрицкаройского района (юго-восточная Грузия). Тр. II Закавк. конф. молодых геологов, Баку, 1960.
- Васильковский Н. П. К проблеме островных дуг. Матер. к I Всесоюзн. конфер. по геол. и металлог. Тихоокеанск. рудн. пояса, Владивосток, 1960.
- Габриелян А. А. Основные вопросы тектоники Армении. Изд. АН Арм. ССР, 1959.
- Гамкрелидзе П. Д. Геологическое строение Аджаро-Триалетской складчатой системы. Монография, 2. Изд. АН Груз. ССР, 1949.
- Джрабашян Р. Т. О палеогеновом вулканализме в районе Базумского хребта. Тезисы докл. IV Закавк. конф. молодых геологов, Ереван, 1962.
- Джрабашян Р. Т. О связи вулканализма с поперечными поднятиями (на примере палеогена Малого Кавказа). ДАН Арм. ССР, т. XXXVIII, № 3, 1964.
- Джрабашян Р. Т., Малхасян Э. Г., Мнацаканян А. Х. Об особенностях распространения микроэлементов в палеовулканических формациях Армении. Изв. АН Арм. ССР, геол. и геогр. науки, XXI, № 3, 1963.
- Дзопенидзе Г. С. Домиоценовый эффузивный вулканализм Грузии. Монография, 1. Изд. АН Груз. ССР, 1948.
- Дудаури О. З., Адамян Ш. А. О нижнепалеогеновом дацитовом вулканализме юго-восточной Грузии. Сообщ. АН Груз. ССР, т. XXIV, № 4, 1960.
- Заварицкий А. Н. Введение в петрохимию изверженных горных пород. Изд. АН СССР, 1944.
- Костюк В. П. Мезо-кайнозойская магматическая деятельность в Карпатах. Автореферат докторской диссертации. Львов, 1960.

- Котляр В. Н. Открытие лейцитовых пород в Закавказье. Сов. геология, № 4—5. т. IX, 1931.
- Котляр В. Н. Памбакский комплекс щелочных пород. Изв. АН СССР, № 2, 1945.
- Котляр В. Н. Лейцитовые породы Памбака. ЗВМО, ч. 86, вып. 6, 1957.
- Котляр В. Н. Памбак. Изд. АН Арм. ССР, Ереван, 1958.
- Лапин Б. Н. Девонский вулканализм и его роль в металлогении Горного Алтая. Тр. ин-та геол. и геофиз., вып. 13, Новосибирск, 1963.
- Лодочников В. Н. Простейшие способы изображения многокомпонентных систем. Изв. Ин-та физ.-хим. анализа АН СССР, т. III, № 1, 1926.
- Мкртычян К. А. Новые данные о верхнезоценовом возрасте трангрессивной свиты Лорийского синклиниория Армянской ССР. ДАН Арм. ССР, т. XXXI, № 1, 1960.
- Остроумова А. С. Третичный вулканализм западного Дарагеза. В кн.: «Вопросы геологии Кавказа», Ереван, 1964.
- Риттман А. Определение сериального индекса вулканических горных пород. Сб. «XI Генеральная ассамблея МГГС». Изд. АН СССР, 1959.
- Риттман А. Вулканы и их деятельность. Изд. «Мир», М., 1964.
- Саркисян О. А. Новые данные по стратиграфии верхнего эоцена Севано-Ширакского синклиниория. Изв. АН Арм. ССР, геол. и геогр. науки, т. XI, № 4, 1958.
- Соболев В. С. Петрология траппов Сибирской платформы. Тр. Аркт. ин-та, т. 43, 1936.
- Схириладзе Н. И. Некоторые особенности постпалеогенового эффузивного вулканизма Грузии. В кн.: «Вопросы вулканализма». Изд. АН СССР, 1962.
- Фаворская М. А. Верхнемеловой и кайнозойский магматизм восточного склона Сихоте-Алиня. Тр. ИГЕМ, вып. 7, 1956.
- Kennedy W. Q. Trends of differentiation basaltic magmas. Amer. Journ. of Sci., 25, № 147, 1933.
- Кипо H. Origin of cenozoic petrographic provinces of Japan and surrounding areas Bull. vulcanol. serie, II, XXV, 1959.
- Rittmann A. Magmatic character and tectonic position of the Indonesian volcanoes. Bull. vulcan. Ser., II, XIV, 1953.